

مطالعه عددی جوشش جریانی مادون سرد آب - Al_2O_3 در کanal عمودی سینوسی

محمد نصیری^۱, محمد مهدی رشیدی^{۲*}

۱- مریب گروه مهندسی مکانیک، دانشگاه آزاد اسلامی، واحد بروجرد، بروجرد
 ۲- استاد، مهندسی مکانیک، دانشگاه بولعلی سینا، همدان
 * همدان، صندوق پستی ۶۵۱۷۵-۴۱۶۱

چکیده

جوشش جریانی مادون سرد یکی از مسائل مهم در صنایعی همچون هسته‌ای و تولید نیرو است، زیرا با تحلیل آن اطلاعاتی در خصوص کسر حجمی بخار در روی دیواره و میزان شار حرارتی بحرانی بدست می‌آید. در کار حاضر تأثیر موجدار بودن کanal بر جوشش جریانی مادون سرد درون یک کanal قائم دو بعدی به صورت عددی بررسی شده و از روش حجم محصور و مدل دو سیالی برای مطالعه جریان استفاده شده است. نتایج بدست آمده نشان داد که با افزودن نانو ذرات به سیال پایه قطر متلاشی شدن حبابها و کسر حجمی بخار روی دیواره کاهش می‌یابد ولی دمای دیواره بدلیل کاهش شار حرارتی تبخیر افزایش پیدا می‌کند. همچنین با افزایش دامنه سینوسی، کسر حجمی بخار روی دیواره و دمای دیواره افزایش می‌یابد. بدلیل ثابت بودن مقدار مومنت جریان در عرض کanal، با افزایش دمای آب روی دیواره چگالی آن کاهش یافته و سرعت سیال در نزدیکی دیوارها افزایش یافته است. همچنین، بدلیل تغییرات سرعت ناشی از تغییرات سطح مقطع کanal و به دنبال آن کاهش فشار موضعی جریان، کسر حجمی بخار در نزدیکی گلوگاه‌ها افزایش می‌یابد.

اطلاعات مقاله

مقاله پژوهشی کامل
 دریافت: ۰۳ اسفند ۱۳۹۲
 پذیرش: ۲۳ فروردین ۱۳۹۳
 ارائه در سایت: ۰۸ مهر ۱۳۹۳

کلید واژگان:
 جوشش مادون سرد
 مدل دو سیال
 کanal سینوسی
 نانو سیال

Numerical study of Subcooled Flow boiling of Water- Al_2O_3 in vertical sinusoidal wavy channel

Mohammad Nasiri¹, Mohammad Mahdi Rashidi^{2*}

۱- Department of Mechanical Engineering, Islamic Azad University, Borujerd Branch, Borujerd, Iran

۲- Department of Mechanical Engineering, University of Bu-Ali Sina, Hamedan, Iran

*P.O.B. 65175-4161, Hamedan, Iran, mm_rashidi@sjtu.edu.cn

ARTICLE INFORMATION

Original Research Paper
 Received 22 February 2014
 Accepted 12 April 2014
 Available Online 30 September 2014

Keywords:
 Subcooled Boiling
 Two-Fluid Model
 Sinusoidal Wavy Channel
 Nanofluid

ABSTRACT

Subcooled flow boiling has many industrial applications such as nuclear engineering and energy generation. The study of the subcooled flow boiling provides a lot of information about the void fraction of vapor on the wall and also the critical heat flux. In this paper, the sub cooled flow boiling in a 2D vertical corrugated channel has been investigated numerically. The two-fluid model and the finite volume method have been used in this investigation. The obtained results show that with increasing of nanoparticles in the base fluid, the void fraction and bubbles departure reduced. However, the wall temperature increases due to heat flux evaporation decreases. Also, with increasing the wavy amplitude, the wall temperature and void fraction increases. that increasing the water temperature on the wall decreases its density and the fluid velocity increases in the vicinity of the wall because the momentum of the flow is constant in the transverse cross section of the channel. Furthermore, because of the variations of the velocity due to the variations of the channel's cross section, the void fraction of the vapor increases in the converging areas of the corrugated channel.

بالا است، به همین دلیل این فرآیند می‌تواند حرارت بالایی را از سیستم دفع

کند. حداکثر شار حرارتی که می‌توان به سیستم اعمال کرد بدون اینکه به

سیستم آسیبی وارد شود را شار حرارتی بحرانی^۱ گویند.

در علم انتقال حرارت، جوشش به دو قسمت عمده تقسیم می‌شود:

جوشش استخراجی و جوشش جریانی. جوشش جریانی نیز شامل جوشش

جریانی اشباع و جوشش مادون سرد^۲ است. اگر دمای سیال ورودی به

جوشش کمتر از دمای جوشش سیال باشد، فرآیند جوشش را جوشش

۱- مقدمه

جوشش جریانی در دهه‌های اخیر بسیار مورد مطالعه قرار گرفته است. تا قبل از ۱۹۶۰، تحقیقات در این زمینه عمدها بر روی لوله‌های بخار بویله‌ها معطوف بود. با پیشرفت صنایع هسته‌ای، راه کارها و تحقیقات جدیدی برای افزایش میزان خنک کاری تجهیزات آن صورت گرفته است.

جوشش و انتقال حرارت ناشی از آن، یکی از پدیده‌هایی است که نه تنها در واکنش‌های راکتورهای هسته‌ای بلکه در تعیین حالت بحرانی تجهیزات تولید نیرو مهم است. در طی فرآیند جوشش ضریب انتقال حرارت بسیار

۱- Critical Heat Flux(CHF)

2- Subcooled flow boiling

افزایش می‌یابد و باعث بهبود شار حرارتی بحرانی می‌شود. در یک کار آزمایشگاهی، کیم و همکاران [10] نشان دادند که با استفاده از نانوذرات آلومینا در جوشش جریانی در لوله، شار حرارتی بحرانی افزایش می‌یابد. عالبدینی و همکاران [11] جوشش جریانی مادون سرد را به صورت عددی با استفاده از مدل مخلوط مورد مطالعه قرار دادند و بیان کردند، که با افزودن نانوذرات آلومینا ضریب انتقال حرارت افزایش می‌یابد که این افزایش ناشی از بیشتر شدن انتقال حرارت تکلاز و جدا شدن حباب است.

در کار حاضر تاثیر افزودن نانو ذرات Al_2O_3 با کسر حجمی 2% و هندسه کانال بر جوشش جریانی مادون سرد در یک کانال سینوسی دو بعدی به روش دو سیالی بررسی شده است. اثرات تغییر سطح مقطع بر کسر حجمی بخار و توزیع آن در مقطع کانال و همچنین دمای دیواره و ضریب انتقال حرارت مورد مطالعه قرار خواهد گرفت.

2- معادلات حاکم

معادلات بقای جرم، مومنتم و انرژی بر هر فاز حاکم هستند. از دیدگاه میکروسکوپی هر فاز مستقل از فاز دیگر نیست و باید در سطح مشترک عبارات انتقال جرم، مومنتم و انرژی با هم کوپل شوند. فاز مایع غالب و پیوسته بوده، در حالی که حباب‌های بخار، فاز گستته³ فرض می‌شوند.

معادله پیوستگی (رابطه (1) و (2)):

$$\frac{\partial[(1-\alpha)\rho_l]}{\partial t} + \vec{\nabla} \cdot [(1-\alpha)\rho_l \vec{u}_l] = \Gamma_{lg} \quad (1)$$

$$\frac{\partial[\alpha\rho_g]}{\partial t} + \vec{\nabla} \cdot [\alpha\rho_g \vec{u}_g] = \Gamma_{lg} \quad (2)$$

در جوشش جریانی، نرخ انتقال جرم ناشی از چگالش بخار در مایع مادون سرد و α کسر حجمی بخار است.

معادله مومنتوم (رابطه (3) و (4)):

$$\begin{aligned} \frac{\partial[(1-\alpha)\rho_l \vec{u}_l]}{\partial t} + \vec{\nabla} \cdot [(1-\alpha)\rho_l \vec{u}_l \vec{u}_l] = \\ - (1-\alpha) \vec{\nabla} p + \vec{\nabla} \cdot [(1-\alpha)(\tau_l + \tau_l^{turb})] + \\ (\Gamma_{lv} \vec{u}_v - \Gamma_{vl} \vec{u}_l) + f_{lg} \end{aligned} \quad (3)$$

$$\begin{aligned} \frac{\partial[\alpha\rho_g \vec{u}_g]}{\partial t} + \vec{\nabla} \cdot [\alpha\rho_g \vec{u}_g \vec{u}_g] = \\ - \alpha \vec{\nabla} p + \vec{\nabla} \cdot [\alpha(\tau_g + \tau_g^{turb})] + \\ (\Gamma_{gl} \vec{u}_l - \Gamma_{lg} \vec{u}_g) + f_{gl} \end{aligned} \quad (4)$$

معادله انرژی (رابطه (5) و (6)):

$$\begin{aligned} \frac{\partial[(1-\alpha)\rho_l H_l]}{\partial t} + [\vec{\nabla}(1-\alpha)\rho_l H_l \vec{u}_l] = \\ \vec{\nabla} \cdot [(1-\alpha)(k_l + \vec{\nabla} T_l)] + \\ (\Gamma_{lg} H_g - \Gamma_{gl} H_l) + q_l \end{aligned} \quad (5)$$

$$\begin{aligned} \frac{\partial[\alpha\rho_g H_g]}{\partial t} + [\vec{\nabla}\alpha\rho_g H_g \vec{u}_g] = \\ \vec{\nabla} \cdot [\alpha(k_g + \vec{\nabla} T_g)] + (\Gamma_{gl} H_l - \Gamma_{lg} H_g) + q_g \end{aligned} \quad (6)$$

f_{gl} و Γ_{gl} در معادلات مومنتوم و انرژی مربوط به عبارات انتقال مربوط به سطح مشترک از گاز به مایع است.

1-2- مدل جوشش دو سیالی

براساس مدل جوشش جریانی مادون سرد کارول و پودسکی [12]. شار حرارتی دیواره q_w شامل سه بخش است (شکل 1): انتقال حرارت جابه جایی تکلاز، شار حرارتی بین جدا شدن و رشد حباب دیگر q_Q ، شار حرارتی تبخیر

مادون سرد گویند. در جوشش جریانی مادون سرد حباب‌های بخار روی سطح گرمایی شروع به تشکیل و رشد می‌کنند. حباب‌ها زمانی تشکیل می‌شوند که دمای دیواره از دمای اشباع مایع در فشار موضعی بیشتر باشد، هر چند که دمای مایع دورتر از دیواره کمتر از دمای اشباع است [1]. حباب‌ها می‌توانند روی سطح بلغزند و حرکت کنند یا اینکه از سطح جدا شوند و در مایع مادون سرد دورتر از دیواره چگالیده شوند. این امر سبب می‌شود که علاوه بر انتقال حرارت، انتقال جرم نیز وجود داشته باشد.

لی و همکاران [2] به صورت تجربی تأثیر لغزش حباب روی دیواره، در جریان مادون سرد آب در یک کانال مستطیل شکل عمودی را مورد بررسی قراردادند، آن‌ها مشاهده کردند نیروی برا¹ باعث می‌شود که حباب‌ها از سطح جدا نشده و روی دیواره بلغزند. همچنین، مشاهده شد حباب‌ها دو گونه رفتار از خود نشان می‌دهند؛ یک سری از حباب‌ها روی سطح می‌لغزند ولی تمایلی برای جاذشان از سطح نشان نمی‌دهند و سری دیگر رشد کرده و مدت زمان پایداری آن‌ها نیز بیشتر است. بان و همکاران [3] جوشش جریانی مادون سرد آب در لوله‌های هم محور را به صورت تجربی بررسی کردند. آن‌ها واپسی درصد کسر حجمی بخار و تراکم سطح مشترک را با شرایط حرارتی و شار جرمی نشان دادند. همچنین، آن‌ها نشان دادند که با افزایش شار حرارتی سرعت حباب‌ها افزایش می‌یابد. کریر و همکاران [4] با استفاده از روش دو سیالی، جوشش جریانی مادون سرد را در یک لوله سوت به صورت دو بعدی شبیه‌سازی کردند. آن‌ها نشان دادند که مدل جوشش روی دیواره؛ قادر است به خوبی کسر حجمی محلی بخار را در یک لوله عمودی محاسبه کند. نتایج آن‌ها انتباط خوبی با داده‌های تجربی نشان داد. کانکار و همکاران [5] با استفاده از روش دو سیالی جوشش جریانی مادون سرد را برای لوله‌های عمودی بررسی کردند و نشان دادند که با درنظر گرفتن نیروهای به غیر از نیروی پسا² مانند لغزش روی دیواره و نیروی برا، نتایج عددی تطابق خوبی با نتایج آزمایش دارند.

کاندیلیکار و همکاران [6] جوشش جریانی مادون سرد و اشباع را در یک کانال مستطیلی شکل کوچک بررسی کردند. آن‌ها بازگشت جریان و نوسانات افت فشار را بر اثر جوشش و تأثیر این پدیده روی دمای دیواره و کسر حجمی بخار را بررسی کردند. لاکاشمی نارسیمیان و همکاران [7] جوشش جریانی مادون سرد و اشباع R11 را مورد مطالعه قراردادند. آن‌ها در ابتدا شاهد جوشش در جریان آرام بودند، ولی با افزایش جریان جرمی و مغذش شدن جریان، تغییری در مقدار ضریب انتقال حرارت در قبل و بعد از آن مشاهده نکردند. کنگ و روی [8] جوشش جریانی مادون سرد R113 را در یک لوله هم محور به صورت تجربی مورد مطالعه قرار دادند. آن‌ها برای اندازه‌گیری کسر حجمی بخار و سرعت محوری حباب‌ها از حسگرهای فیبرنوری که دارای دقت بالایی بودند، استفاده کردند.

نانوسیال، سیالی است که از توزیع ذرات جامد با ابعاد کمتر از 100 نانومتر در سیالات مورد استفاده در تجهیزات حرارتی به وجود می‌آید. جنس این ذرات معمولاً از فلزات و یا اکسیدهای فلزی است. با توجه به بالاتر بودن ضریب هدایت حرارتی این ذرات در مقایسه با سیالات رایج در انتقال حرارت انتظار می‌رود که نانوسیال کارآیی حرارتی بهتری نسبت به سیال پایه مربوطه داشته باشد.

لی و همکاران [9] جوشش جریانی مادون سرد نانوسیال مغناطیس شونده را مطالعه کردند و نشان دادند با افزایش نانوذرات مقدار ترشوندگی سطح

1- Lift force
2- Drag force

مومنتم سطح مشترک معمولاً با استفاده از نیروهای سطح مشترک، نظری نیروهای پسا \vec{F}_D ، برا \vec{F}_l ، پخش آشفتگی¹ و \vec{F}_{TD} همچنین لغزنده سطح دیواره² مدل می‌شود.

برای محاسبه نیروی پسا بهوسیله نیروی اصطکاک سطحی و اختلاف فشار موجود بین حباب‌های بخار، از روش ایشی-زوبر [18] استفاده می‌شود (معادله (14)).

$$\vec{F}_D = \frac{3c_D}{4d_b} r_g \rho_l |U_g - U_l| (\vec{U}_g - \vec{U}_l) \quad (14)$$

که در این رابطه، c_D ضریب پسا و d_b قطر حباب است. تومی‌یاما و همکاران [19] ضریب برا (c_l) را در جریان دوفازی آب و هوا مورد بررسی قرار دادند و نشان دادند که مقدار آن تابعی از قطر حباب است، وقتی که قطر حباب از شاعع بحرانی بیشتر می‌شود؛ ضریب لیفت کاهش می‌یابد.

نیروی برا \vec{F}_l ، که بر اثر دنباله و تغییر شکل متقارن کروی ناشی می‌شود، را می‌توان بهصورت معادله (15) مدل کرد [19]:

$$\vec{F}_l = c_l r_g \rho_l (\vec{U}_g - \vec{U}_l) \times \omega_g \quad (15)$$

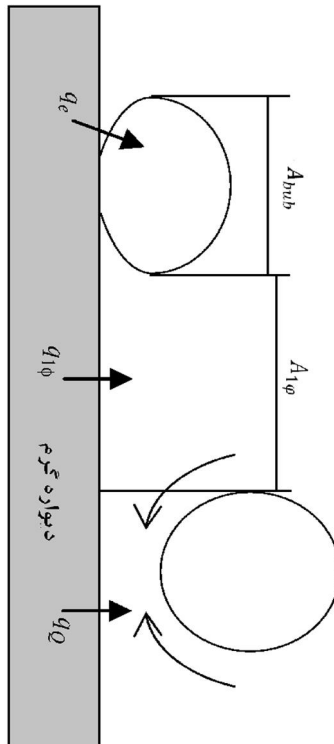
که در رابطه (15)، $U = \nabla \times U$ است.

همچنین، نیروهای پخش آشفتگی³ براساس میانگین نیروی پسا سطح مشترک فاور [20] محاسبه می‌شود (معادله (16)):

$$\vec{F}_{TD} = C_{TD} \frac{3c_D \mu_l^{eff}}{4d_b \sigma_t} \left(\frac{\nabla r_g}{r_g} - \frac{\nabla r_l}{r_l} \right) \quad (16)$$

در رابطه (16)، σ_t عدد اشمت آشفته فاز مایع بوده که بهصورت معادله (17) تعریف می‌شود.

$$\sigma_t = \frac{\mu}{\rho D} \quad (17)$$



شکل 1- اجزای شار حرارتی مدل جوشش روی دیواره

1- Turbulent dispersion force
2- Wall lubrication force

روی دیواره q_e (رابطه (7)).

$$q_w = q_{1\varphi} + q_Q + q_e = S_t \rho_l c_p A_{1\varphi} u_l (T_w - T_l) + 2f \left(\frac{\tau_Q \lambda_l \rho_l}{\pi} \right)^{0.5} A_{bub} (T_w - T_l) + N_a f \pi d_{bw}^3 \rho_g H_{lg} / 6 \quad (7)$$

در این رابطه، S_t عدد استانتون محلی، f فرکانس تولید هسته بخار، T_w دمای دیواره و T_l و u_l نیز بهترتب دمای محلی مایع و سرعت مایع در نزدیکی دیواره هستند. تناوب دفع حرارت بین جدا شدن یک حباب و شروع رشد یک حباب دیگر برابر است با $f = 0.8/\tau_Q$. A_{bub} سطح گرمایی است که بهوسیله حباب‌های بخار پوشیده شده است که بهصورت رابطه (8) تعریف می‌شود.

$$A_{bub} = \min(1, \pi N_a d_{bw}^2) \quad (8)$$

تراکم سایتها تولید هسته بخار N_a و فرکانس تشکیل حباب f را می‌توان بهترتب از روش ارائه شده توسط لمارت و چاولا [13] و روش کول [14] به صورت روابط (9) و (10) محاسبه کرد:

$$N_a = (185(T_w - T_l))^{1.805} \quad (9)$$

$$f = \sqrt{\frac{4g(\rho_l - \rho_g)}{3d_{bw}\rho_l}} \quad (10)$$

برای محاسبه قطر حباب تولبینسکی و کستانچوف [15] معادله (11) را ارائه دادند:

$$d_{bw} = \min \left[0.6(mm) \exp \left(\frac{-\Delta T_{sat}}{45} \right), 1.4(mm) \right] \quad (11)$$

در رابطه (5)، ΔT_{sat} اختلاف بین دمای اشباع و دمای مایع مادون سرد است.

2-2- مدل تغییر فاز حرارتی

در جوشش جریانی مادون سرد، انتقال جرم و حرارت بین دوفاز بهوسیله حباب تبخیر شده روی دیواره گرم و چگالش حباب در جریان مادون سرد توصیف می‌شود. بعد از جدایش حباب از دیواره داغ، حباب‌های بخار بهوسیله مایع مادون سرد مجاور پراکنده شده و چگالیده می‌شوند. فرآیند تغییر فاز بهوسیله انتقال حرارت سطح مشترک در جوشش جریانی مادون سرد را می‌توان بهصورت رابطه (12) محاسبه کرد [16]:

$$q_{lg} = h_{lg} A_{lg} (T_g - T_l) \quad (12)$$

در رابطه (12)، A_{lg} سطح مشترک بین دوفاز است که می‌تواند از رابطه $A_{lg} = \frac{6r_g}{d_b}$ محاسبه شود. ضریب انتقال حرارت در سطح مشترک است.

برای یک سیال نیوتونی تراکم ناپذیر، عدد نوسلت می‌تواند از روش رناظ مارشال [17]، با صرفنظر کردن از مقاومت حرارتی بخار، به صورت رابطه (13) محاسبه شود.

$$Nu_b = 2 + 0.6 Re_b^{0.5} Pr_1^{1/3} \quad (13)$$

در معادله فوق Re_b اعداد رینولدز حباب و Pr_1 عدد پرانتل سیال مجاور است.

3- انتقال مومنتم سطح مشترک

وسط ورودی قرار دارد. جهت توسعه یافته‌گی هیدرودینامیکی جریان، 60mm ابتدایی کanal (L) صاف و آدیاباتیک درنظر گرفته شده است (رابطه (26)).

$$s(y) = \pm \frac{w}{2} \pm a \sin \left[\frac{2\pi(x - L_s)}{L_w} \right], L_s \leq x \leq L_e \quad (26)$$

در رابطه (26)، w عرض کanal در قسمت آدیاباتیک کanal a بیشینه مقدار موج است که بهصورت بی بعد برابر $A = \frac{2a}{w}$ است.

برای تحلیل جریان از شبکه‌بندی منظم و یکنواخت استفاده شده است.

جهت بررسی استقلال نتایج از شبکه‌بندی، استقلال شبکه برای بیشینه مقدار کسر حجمی بخار روی دیواره و دمای آب خروجی کanal برای شار حرارتی کاهش زمان محاسبات از 1600 نقطعه در جهت طولی و 19 گره در جهت عرضی استفاده شده و در جدول ۲ آورده شده است. شکل ۳ نمونه شبکه-بندی انجام شده را نشان می‌دهد.

4- شرایط مرزی و روش محاسبات

سیال با شار جرمی $116/64 \text{ kg/m}^2\text{s}$ به طور یکنواخت و دمای ورودی ثابت و برابر $522/15\text{K}$ با خواص مایع اشباع در فشار آن 5MPa وارد کanal می‌شود. دیواره‌ها با شار حرارتی ثابت و شرط عدم لغزش برای فاز مایع و شرط لغزش آزاد برای فاز بخار درنظر گرفته شده‌اند. براساس نتایج آزمایشگاهی [26]، قطر متوسط حباب 1mm فرض شده است و برای محاسبه آشفتگی از مدل تنش برشی انتقالی فاز مایع و مدل آرام برای فاز بخار استفاده و انتقال آشفتگی نیز درنظر گرفته شده است. همچنین، شتاب گرانش در خلاف جهت جریان بر سیستم اعمال شده است.

نرم‌افزار ANSYS/CFX برای شبیه‌سازی استفاده شده است. الگوریتم SIMPLEC برای ارتباط فشار و سرعت استفاده شده است. برای گسسته‌سازی

جدول 1 بررسی استقلال شبکه

| مقدار بیشینه کسر حرجمی بخار روی دیواره | دما متوسط آب در خرجی کanal (K) | تعداد گره (عرض × طول) (mm) |
|---|-----------------------------------|----------------------------------|
| 0/2055 | 526/471 | 1440×12 |
| 0/2138 | 836/472 | 1600×12 |
| 0/2172 | 472/851 | 1760×12 |
| 0/1936 | 474/221 | 1600×16 |
| 0/2122 | 474/947 | 1600×19 |
| 0/2066 | 474/915 | 1600×22 |

جدول 2 خواص سیال پایه و نانوذرات

| Al ₂ O ₃ | آب | |
|--------------------------------|-----------|-----------------------|
| 3890 | 777/6 | $\rho[\text{kg/m}^3]$ |
| 880 | 5024 | $C_p[\text{J/kg.K}]$ |
| 35 | 0/5929 | $k[\text{W/m.K}]$ |
| | 0/0001001 | $\mu[\text{kg/m.s}]$ |

همچنین، C_{TD} ضریب پخش آشفتگی است که برابر 1 است.

نیروی لغزش دیواره \vec{F}_w در جهت عرضی به دیوار اعمال می‌شود و تمایل دارد حباب‌های بخار را روی سطح گرمایی نگه دارد. در این باره از مدل آنتال و همکاران [21] برای محاسبه لغزش روی دیواره استفاده شده است (رابطه (18)):

$$\vec{F}_w = -r_g \rho_a \frac{(\vec{U}_g - \vec{U}_l)}{d_b} \max(C_1 + C_2 \frac{d_b}{y_m}, 0) \vec{n} \quad (18)$$

در معادله (18) y_m فاصله نزدیکترین دیواره، \vec{n} بردار عمود بر دیواره، C_1 و C_2 ضرایب ثابت برابر $0/01$ و $0/05$ هستند.

تأثیر حباب‌های بخار روی آشفتگی جریان مایع نیز بهوسیله مدل استفاده شده توسط ستو و همکارانش [22] درنظر گرفته شده است.

4-2- خواص نانوسيال

خواص ترموفیزیکی آب و نانوذرات اکسید آلومینیوم در جدول 1 داده شده‌اند. قطر نانوذرات 10nm درنظر گرفته شده است که کوچکتر از قطر سایت‌های تشکیل بخار هستند [23]. مخلوط نانوذرات Al₂O₃ و آب کاملاً یکنواخت و همگن است. بهدلیل حجم کم بخار در جوشش جریانی مادون سرد و تکفار درنظر گرفتن نانوسيال معادلات تنها برای دو سیال آب و بخار حل می‌شوند. هر یک از خواص معادل را می‌توان برای نانوسيال آب Al₂O₃ از طریق روابط (19) و (20) محاسبه کرد:

چگالی نانوسيال:

$$\rho_{eff} = (1 - \varphi)\rho_f + \varphi\rho_{np} \quad (19)$$

ظرفیت گرمایی نانوسيال:

$$(\rho_{eff} C_{p_{eff}}) = (1 - \varphi)(\rho c_p)_f + \varphi(\rho c_p)_{np} \quad (20)$$

لزجت دینامیکی مخلوط نانوسيال از رابطه (21) [24] محاسبه می‌شود:

$$\mu_{eff} = \mu_f(1 + 2.5\varphi + 4.375\varphi^2) \quad (21)$$

همچنین، می‌توان، با استفاده از مدل چون و همکاران [25] برای نانوذرات آلومینیا، رسانش دمایی نانوسيال را با استفاده از معادله (22) به دست آورد:

$$\frac{k_{eff}}{k_f} = \frac{1 + 64.7\varphi^{0.7460}(\frac{d_f}{d_p})^{0.3690}(\frac{k_p}{d_f})^{0.7476}Pr_f^{0.9955}Re_f^{1.2321}}{1 + 64.7\varphi^{0.7460}(\frac{d_f}{d_p})^{0.3690}(\frac{k_p}{d_f})^{0.7476}Pr_f^{0.9955}Re_f^{1.2321}} \quad (22)$$

در رابطه (22)، Pr_f و Re_f به صورت روابط (23) و (24) تعریف می‌شوند.

$$Pr_f = \frac{\eta}{\rho_f \alpha_f} \quad (23)$$

$$Re_f = \frac{\rho k_B T}{3\pi\eta^2\lambda_f} \quad (24)$$

در رابطه‌های (23) و (24)، λ_f طول پویش آزاد متوسط آب (17 nm).

ثابت بولتزمن ($j/k = 1/3807 \times 10^{-23}$) و η نیز با استفاده از رابطه (25) محاسبه می‌شود:

$$\eta = A \times 10^{\frac{B}{T-C}}, \quad A = 2.414 \times 10^{-5}, \quad B = 247, \quad C = 140 \quad (25)$$

3- هندسه و مدل جریان

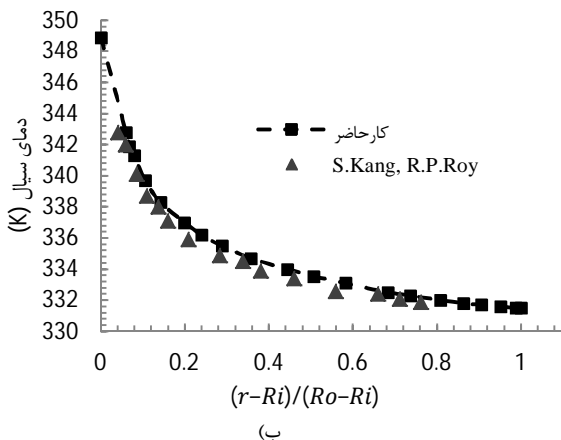
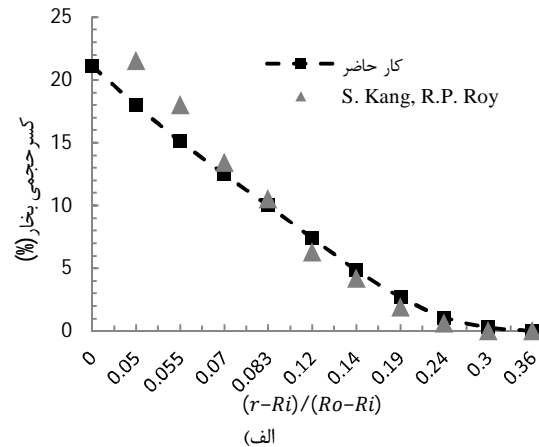
شکل 2 طرحواره‌ای از کanal مورد بررسی را نشان می‌دهد. کanal بهصورت دو صفحه سینوسی است. طول کanal (L) 340mm و عرض ناحیه ورودی (W) 20 mm است. طول ناحیه سینوسی 220mm با تعداد 10 موج است، که از رابطه (1) پیروی می‌کند. کanal عمودی در جهت محور z و مرکز مختصات در

می‌یابد، ولی در ادامه با کاهش سطح مقطع و به دنبال آن افزایش سرعت، حباب‌ها فرصت کافی برای رشد نداشته و سریع‌تر از حالت قبل متلاشی می‌شوند. با افزودن نانوذرات به آب خالص، قطر متلاشی شدن حباب‌ها کاهش می‌یابد که این کاهش برای $A=0/2$ بیشتر است.

همان‌گونه که در شکل 6 مشاهده می‌شود به صورت مقطعی در طول کanal و قبل از گلوگاه‌ها کسر حجمی بخار افزایش می‌یابد، این موضوع ناشی از افزایش سرعت در ورودی گلوگاه‌ها و به دنبال آن افت فشار در آن ناحیه است؛ همچنان، همان‌گونه که بیان شد با کاهش سطح مقطع، کسر حجمی بخار افزایش می‌یابد، ولی افزایش شدید سرعت جریان در گلوگاه سبب می‌شود که بیشینه کسر حجمی بخار قبل از گلوگاه تشکیل شود. مطابق شکل 6، با افزودن نانوذرات Al_2O_3 به آب خالص، به دلیل افزایش ظرفیت حرارتی و ضریب رسانایی حرارتی، کسر حجمی بخار در طول کanal کاهش می‌یابد. کاهش مقدار بخار تولیدی برای کanal با $A=0/2$ بسیار بیشتر از $A=0/1$ است.

به منظور ارائه توضیحات بیشتر، در شکل 7-الف کانتور کسر حجمی بخار برای آب خالص و در شکل 7-ب برای جریان نانوسیال با 2% کسر حجمی در کanal $A=0/2$ نشان داده شده است.

در شکل 8، تغییرات ضریب انتقال حرارت جابه‌جایی در طول کanal مشاهده می‌شود. در طول کanal، تغییرات سرعت در کناره دیواره باعث تغییرات ضریب انتقال حرارت و به دنبال آن تغییرات دمایی دیواره در طول کanal می‌شود. همچنان، اعتنشاگی که در گلوگاه ایجاد می‌شود باعث برهم

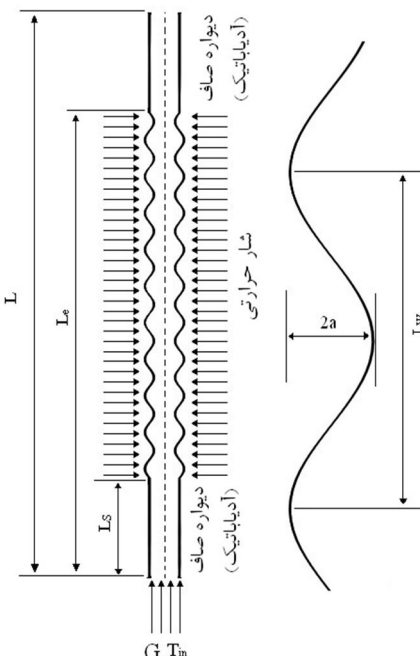


شکل 4 اعتبارسنجی با نتایج تجربی به دست آمده توسط کنگ و روی، (الف) ضریب کسر حجمی بخار، (ب) دمای سیال

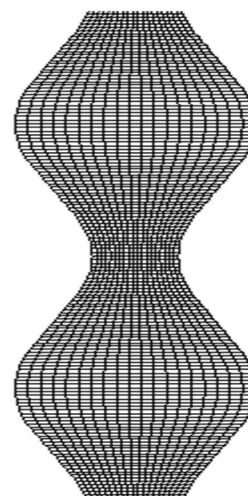
معادلات متد بالادست پیشرفته¹ مرتبه دوم به کار گرفته شده است. همچنان، برای آشفتگی جریان مدل آشفتگی دقت بالا² مورد استفاده قرار گرفته است. برای اعتبارسنجی حل، نتایج به دست آمده با نتایج حاصل از آزمایش‌های کنگ و روی [8] مقایسه شده است، (شکل 4). همان‌طور که ملاحظه می‌شود نتایج دارای تطابق خوبی با نتایج تجربی هستند.

5- نتایج و بحث

در شکل‌های 5 و 6، قطر متلاشی شدن حباب رو دیواره و کسر حجمی بخار نشان داده شده است. همان‌گونه که در شکل 5 مشاهده می‌شود به علت تغییر سرعت سیال، که ناشی از تغییر سطح مقطع کanal است، تغییرات شدیدی در قطر متلاشی شدن حباب‌ها روی می‌دهد. توضیح این نکته لازم است که با افزایش سطح مقطع و کاهش سرعت، قطر متلاشی شدن حباب‌ها افزایش



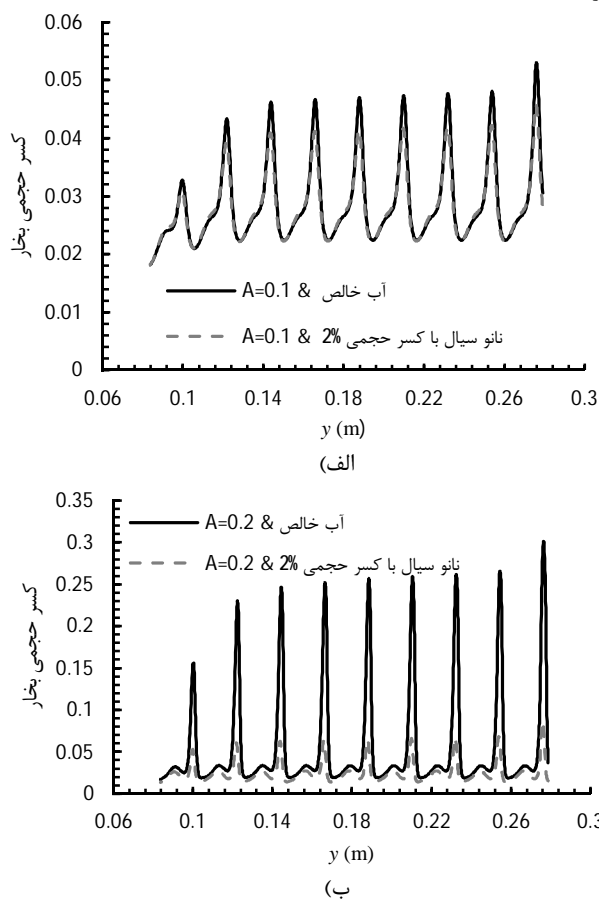
شکل 2 طرحواره کanal مورد بررسی



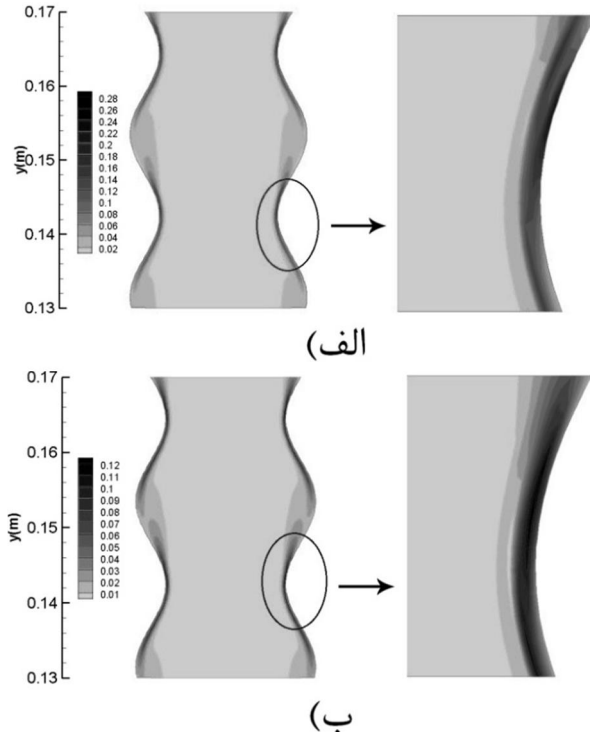
شکل 3 طرحواره از شبکه‌بندی استفاده شده

1- Upwind
2- High resolution

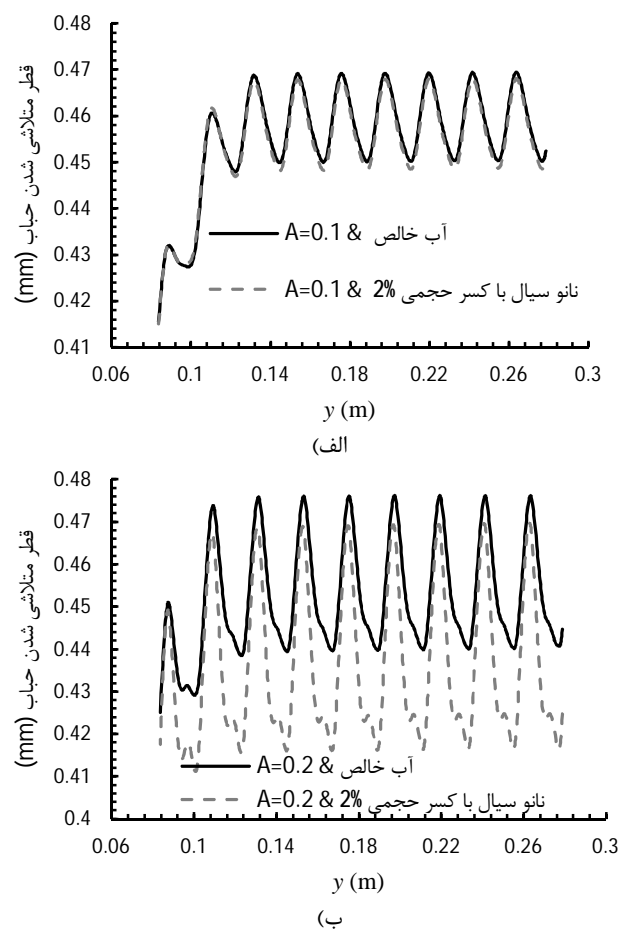
است که دمای مایع روی دیواره به دمای اشباع رسیده و مقداری از آن نیز بخار شده است.



شکل 6 تغییرات کسر حجمی بخار در طول کانال (الف) A=0/1 A=0/2



شكل 7 توزيع كسر حجمي بخار در سطح مقطع کanal A=0/2 (الف) آب خالص
ب) نانوسا



خوردن خطوط حریان و متمایل شدن مایع با دمای کمتر به سمت دیواره شده است. افزودن نانوذرات به آب خالص موجب افزایش قابل توجه ضریب انتقال حرارت جابه‌جایی نمی‌شود، ولی دمای متوسط دیواره، بهدلیل کاهش انتقال حرارت ناشی از تبخیر و عدم افزایش قابل توجه انتقال حرارت جابه‌جایی، افزایش می‌یابد (شکل 9). این نتایج مطابق با نتایج آزمایشگاهی آهن و کیمی [27] است.

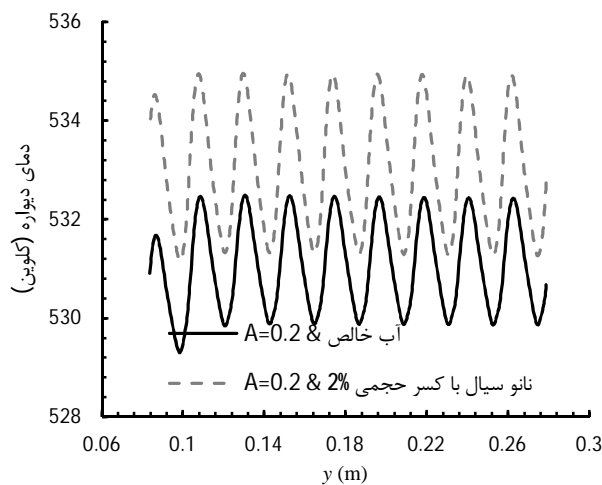
همان گونه که در شکل 10 نشان داده شده است، سرعت در نزدیکی گلوگاه تدریجاً افزایش می‌یابد و در گلوگاه به بیشترین مقدار خود می‌رسد، در آنجا بدلیل افزایش سرعت، ضریب انتقال حرارت افزایش می‌یابد، در نتیجه دمای دیواره و قطر متلاشی شدن حباب‌ها در روی دیواره به مقدار کمینه خود نزدیک می‌شوند و با افزایش سطح مقطع این مقادیر افزایش یافته تا به مقدار بیشینه خود برسند که در آن ناحیه سرعت مایع کمینه است.

سرعت سیال در مرکز کانال کمتر از سرعت روی دیواره است، این امر عمدتاً ناشی از بیشتر بودن نیروی شناوری در نزدیکی دیواره نسبت به مرکز جریان می‌باشد، همچنین، با افزایش دمای آب روی دیواره چگالی آن کاهش یافته و بدلیل ثابت بودن مقدار مومنتم جریان در عرض کانال، سرعت سیال در نزدیکی دیواره‌ها افزایش یافته است.

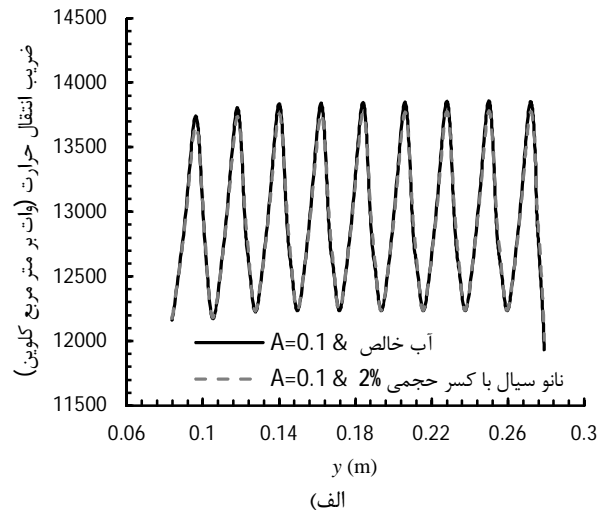
شکل 11 کانتور دمایی مایع در طول کانال را نشان می‌دهد. همان‌گونه که مشاهده می‌شود، بدليل مادون سرد بودن مایع ورودی به کانال، دمای سیال در مرکز کانال پایین‌تر از دمای اشباع آب (537K) است این در حالی

6- نتیجه‌گیری

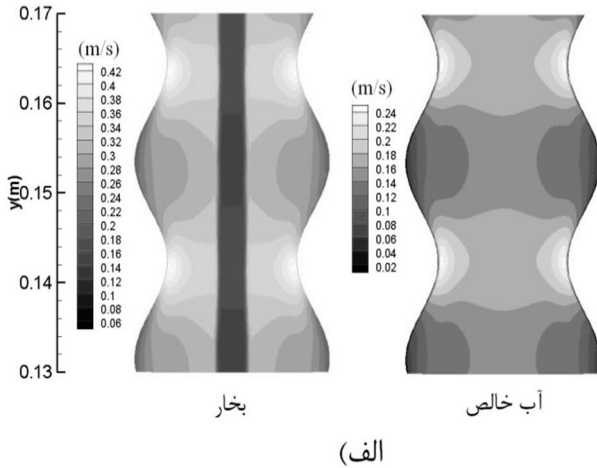
در این مقاله جوشش جریانی مادون سرد در یک کanal سینوسی قائم



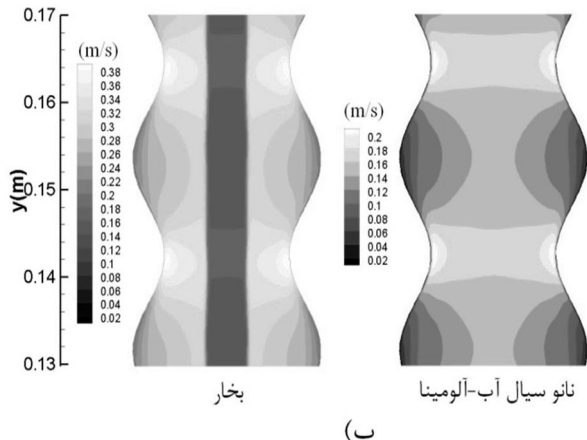
شکل 9-ب تغییرات دمایی دیواره در طول کanal، $A=0/2$



(الف)



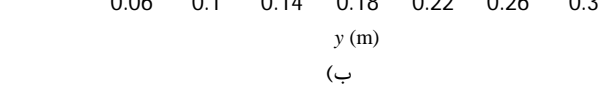
(الف)



(ب)

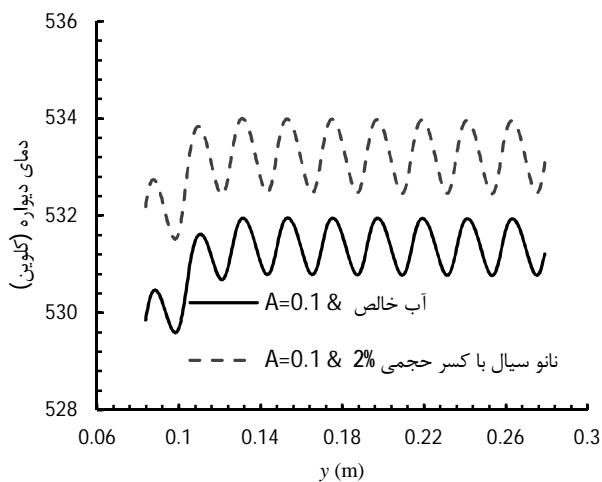
شکل 10 کانتور سرعت: (الف) بخار (ب) آب در سطح مقطع کanal $A=0/2$
الف) آب خالص، ب) نانو سیال

دو بعدی به صورت عددی و با استفاده از مدل دوسیالی بررسی شده است. انحنای دیواره باعث تغییرات سرعت در طول کanal می‌شود که این امر باعث تغییرات شدیدی در توزیع کسر حجمی بخار روی دیواره می‌شود. این موضوع می‌تواند باعث ایجاد محدودیت در شار اعمالی به کanal شود. همچنین،



(ب)

شکل 8 تغییرات ضریب انتقال حرارت جابه‌جایی در طول کanal، (الف) $A=0/1$
(ب) $A=0/2$

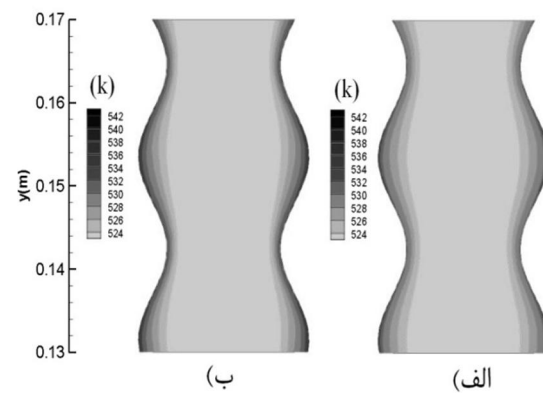


شکل 9-الف تغییرات دمایی دیواره در طول کanal $A=0/1$

| | |
|--|----------------|
| ثابت بولتزمن | k_B |
| تراکم سایتهاي توليد هسته بخار | N_a |
| عدد پرانتل | Pr |
| نرخ انتقال حرارت سطح مشترک (W/m^2) | q_{lg} |
| شار حرارتی دیواره (W/m^2) | q_w |
| شار حرارتی جابجایی تک فاز (W/m^2) | $q_{1\varphi}$ |
| شار حرارتی بین جدا شدن و رشد حباب دیگر (W/m^2) | q_Q |
| شار حرارتی تبخیر روی دیواره (W/m^2) | q_e |
| عدد رینولدز | Re |
| كسر حجمی بخار | r_g |
| (دما) (K) | T |
| عدد استانتون محلی | S_t |
| (سرعت) (m/s) | U |
| (عرض کanal) (m/s) | w |
| فاصله نزدیکترین دیواره (m) | y_m |
| علامت یونانی | |
| ویسکوزیته دینامیکی (Ns/m^2) | μ |
| چگالی (kg/m^3) | ρ |
| عدد اشمیت آشفته | σ_t |
| تناوب دفع حرارت بین جدا شدن یک حباب و شروع رشد یک حباب دیگر | τ |
| زیرنویس‌ها | |
| حباب | b |
| خواص موثر | eff |
| سیال پایه | f |
| بخار | g |
| مایع | l |
| نانوذرات | p |

8- مراجع

- J. G. Collier, J. R. Thome, *Convective Boiling and Condensation*, Third Ed., UK:Clarendon Press Oxford, 1994.
- S. Li, S. Tan, C. Xu, P. Gao, L. Sun, An experimental study of bubble sliding characteristics in narrow channel, *Int. J. Heat and Mass Transfer*, Vol. 57, pp. 89–99, 2013.
- B. J. Yun, B. U. Bae, D. J. Euh, G. C. Park, C. H. Song, Characteristics of the local bubble parameters of a subcooled boiling flow in an annulus, *Nuclear Eng. and Design*, Vol. 240, No. 9, pp. 2295–2303, 2010.
- E. Krepper, B. Koncar, Y. Egorov, CFD modelling of subcooled boiling-Concept, Validation and application to fuel assembly design, *Nuclear Eng. and Design*, Vol. 237, pp. 716–731, 2007.
- B. Koncar, E. Krepper, Y. Egorov, CFD modeling of subcooled flow boiling for nuclear engineering applications, in *Int Conference Nuclear Energy for New Europe*, Slovenia, 2005.
- S. G. Kandlikar, M. E. Steinke, S. Tian, L. A. Campbell, High speed photographic observation of flow boiling of water in parallel minichannels, *35th Proceedings of National Heat Transfer Conference*, June 2001, Anaheim, CA, ASME Publications, 2001.
- M. S. Lakshminarasimhan, D. K. Hollingsworth, L. C. Witte, Boiling incipience in narrow channels, *ASME IMECE*, Vol. 4, pp. 55–63, 2000.
- S. Kang, R. P. Roy, Vapor phase measurements in subcooled boiling flow, *Int. J. Heat Transfer*, Vol. 124, pp. 1207–1209, 2002.
- T. Lee, J. H. Lee, Y. H. Jeong, Flow boiling critical heat flux characteristics of magnetic nanofluid at atmospheric pressure and low mass flux conditions, *Int. J. Heat and Mass Transfer*, Vol. 56, pp. 101–106, 2013.
- T. Kim, W. J. Chang, S. H. Chang, Flow boiling CHF enhancement using Al2O3 nanofluid and an Al2O3 nanoparticle deposited tube, *Int. J. Heat and Mass Transfer*, Vol. 54, pp. 2021–2025, 2011.
- E. Abedini, A. Behzadmehr, S. M. H. Sarvari, S. H. Mansouri, Numerical investigation of subcooled flow boiling of a nanofluid, *Int. J. Thermal Sciences*, Vol. 64, pp. 232–239, 2013.



شکل 11 کانتور توزیع دمایی در سطح مقطع کanal A=0/2

(الف) آب خالص، (ب) نانوپیلار

تغییرات سطح مقطع سبب ایجاد تغییر فشار در طول کanal می‌شود که تأثیر زیادی بر کسر حجمی بخار تولیدی دارد، به‌گونه‌ای که با بیشتر شدن پارامتر بی بعد موج سینوسی کسر حجمی بخار افزایش می‌یابد. افزودن نانوذرات اکسید آلومینیوم به آب سبب افزایش ظرفیت گرمایی و ضریب رسانایی سیال می‌شود که نتیجه آن کاهش کسر حجمی بخار روی دیواره است. همچنین، با افزایش نانوذرات ضریب انتقال حرارت جابجایی تغییر بسیار کوچکی دارد ولی دمای متوسط دیواره افزایش می‌یابد.

7- فهرست علامت

| | |
|---|----------------|
| $A = \frac{2a}{w}$ | A |
| پارامتر بی بعد موج | a |
| بیشینه مقدار موج | A_{bub} |
| سطح گرمایی پوشیده شده از حباب (m^2) | A_{lg} |
| سطح مشترک بین دو فاز (m^2) | $A_{1\varphi}$ |
| سطح تحت جابجایی تک فاز (m^2) | c_p |
| حرارت ویژه (J/kgK) | c_D |
| ضریب پسا | c_l |
| ضریب برآ | C_{TD} |
| ضرایب ثابت در معادله (11) | C_2 و C_1 |
| قطر مولکول سیال پایه (m) | d_f |
| قطر متوسط حباب (m) | d_b |
| قطر فروپاشی حباب (m) | d_{bw} |
| قطر متوسط نانوذرات (m) | d_p |
| فرکانس تشکیل حباب (1/s) | f |
| نیروی پسا ($\text{kg}/\text{m}^2 \text{s}^2$) | F_D |
| نیروی برآ ($\text{kg}/\text{m}^2 \text{s}^2$) | F_l |
| نیروهای پخش آشفتگی ($\text{kg}/\text{m}^2 \text{s}^2$) | F_{TD} |
| نیروی لغزندگی سطح دیواره ($\text{kg}/\text{m}^2 \text{s}^2$) | F_w |
| شتاب گرانش (m/s^2) | g |
| گرمای نهان (W) | H_{lg} |
| ضریب انتقال حرارت در سطح مشترک ($\text{W}/\text{m}^2 \text{K}$) | h_{lg} |
| طول کanal (m) | L |
| طول ناحیه آدیبااتیک (m) | L_s |
| ضریب انتقال حرارت رسانش ($\text{W}/\text{m.K}$) | k |

- International Conference on Multiphase Flow*, Yokohama, Japan, 2004.
- [21] S. P. Antal, R. T. Lahey, J. E. Flaherty, Analysis of phase distribution in fully developed laminar bubbly two-phase flow, *Int. J. Multiphase Flow*, Vol. 7, pp.635–652, 1991.
- [22] Y. Sato, M. Sadatomii, K. Sekoguchi, Momentum and heat transfer in two-phase bubble flow, *Int. J. Multiphase Flow*, Vol. 7, pp.167–177, 1981.
- [23] Sung Joong Kim, Tom McKrell, Jacopo Buongiorno, Lin-wen Hu, Subcooled flow boiling heat transfer of dilute alumina, zinc oxide, and diamond nanofluids at atmospheric pressure, *Nuclear Eng. and Design*, Vol. 240, pp. 1186-1194, 2010.
- [24] H. C. Brinkman, The viscosity of concentrated suspensions and solutions, *J. Chem. Phys.*, Vol. 20, pp. 571-581, 1952.
- [25] C.H. Chon, K.D. Kihm, S.P. Lee, S.U.S. Choi, Empirical correlation finding the role of temperature and particle size for nanofluid (Al2O3) thermal conductivity enhancement, *Applied Phy Letters*, Vol. 87, pp. 1-3, 2005.
- [26] O. Zeitoun, M. Shoukri, Axial void fraction profile in low pressure subcooled flow boiling, *Int. J. Heat and Mass Transfer*, Vol. 40, pp. 867-879, 1997.
- [27] H. S. Ahn , M. H. Kim, The boiling phenomenon of alumina nanofluid near critical heat flux, *Int. J. Heat and Mass Transfer*, Vol. 62, pp. 718–728, 2013.
- [12] N. Kurul, M. Z Podowski, On the modeling of multidimensional effects in boiling channels, In *ANS Proceedings of 27th National Heat Transfer Conference*, Minneapolis, 1991.
- [13] M. Lemmert, J. M. Chawla, Influence of flow velocity on surface boiling heat transfer coefficient, in *Hahne, E., Grigull, U. (Eds.), Heat Transfer in Boiling*, New York:Academic Press and Hemisphere, pp. 237–247, 1977.
- [14] R. Cole, A photographic study of pool boiling in the region of the critical heat flux, *AICHE Journal*, Vol. 6, pp. 533–542, 1960.
- [15] V. I. Tolubinsky, D. M. Kostanchuk, Vapour bubbles groth rate and heat transfer intensity at subcooled water boiling,in *The 4th International Heat Transfer Conference*, Paris, Vol. 5, 1970.
- [16] R. Winterton, Flow boiling: prediction of bubble departure, *Int. J. Heat and Mass Transfer*, Vol.27, pp. 1422-1424, 1984.
- [17] W. E. Ranz, W. R. Marshall, Evaporation from drops, *Chem. Eng. Progr.*, Vol. 48, No. 3, pp. 141–146, 1952.
- [18] M. Ishii, N. Zuber, Drag coefficient and relative velocity in bubbly, droplet or particulate flows, *AICHE Journal*, Vol. 25, pp. 843–855, 1979.
- [19] A. Tomiyama, Struggle with computational bubble dynamics, in *Third International Conference on Multiphase Flow*, Lyon, France, 1998.
- [20] A. D. Burns, T. Frank, I. Hamill, J. M. Shi., The favre averaged drag model for turbulence dispersion in Eulerian multi-phase flows, in: *The5th*